

*G, D*) (см. рис. 2). Для этого при существовании режима II (более устойчивого во времени) проводилось быстрое сканирование по всему сечению вихря и измерение скорости при значениях радиальной координаты, соответствующей точкам *E, F, G, D* ( $-30, -10, 10, 40$  мм). Во избежание ошибки этот процесс повторялся.

Интересно отметить, что в пределах погрешности эксперимента не удалось выявить различия в распределении тангенциальной компоненты скорости (рис. 3). Представленный на рисунке профиль характерен для сильно закрученной струи и относится к обоим режимам взаимодействия вихря с плоскостью.

Вследствие некоторой несимметрии течения точный расчет расходов по сечениям интегрированием профилей вертикальной компоненты скорости затруднителен. Приближенные же оценки показали, что в режиме I расход газа в восходящем потоке от возникновения в пограничном слое до входа в вихревую камеру практически не изменяется, т. е. восходящий поток не обменивается массой с периферийным нисходящим потоком. В этом случае вихревой генератор формирует все восходящее течение непосредственно с поверхности, точнее, из торцевого пограничного слоя над плоскостью. В режиме II в нижней части восходящего потока имеется радиальное течение от периферии к оси, поэтому только часть массы в восходящий поток поступает из пограничного слоя. Остальной расход пополняется за счет разворота части периферийной кольцевой струи.

#### ЛИТЕРАТУРА

1. Гольдштик М. А. О закрученных струях // Изв. АН СССР. МЖГ.— 1979.— № 1.
2. Рыжнев В. Ю., Ястребова Е. В. Исследование вихревого элемента с двумя устойчивыми состояниями // Тр. МЭИ.— 1972.— Вып. 105.
3. Дубнищев Ю. Н., Ринкевичус Б. С. Методы лазерной доплеровской анемометрии.— М.: Наука, 1982.
4. Багринцев В. И., Волчков Э. П. и др. Использование лазерного доплеровского анемометра для исследования течения в вихревой камере // Автометрия.— 1982.— № 3.

Поступила 26/II 1986 г.

УДК 536.24 : 532.526

## ТУРБУЛЕНТНОЕ ТРЕНИЕ И ТЕПЛООБМЕН ПРИ ЗАКРУТКЕ ПОТОКА В ТРУБЕ

Э. П. Волчков, Н. А. Дворников, С. Ю. Спотарь, В. И. Терехов  
(Новосибирск)

Исследованию процессов турбулентного переноса тепла и импульса в закрученных потоках в трубах уделялось большое внимание. Можно назвать ряд экспериментальных [1—12] и теоретических [12—19] работ, где рассматривались эти явления. Однако детальное сопоставление имеющихся расчетных и экспериментальных данных свидетельствует о значительном их расхождении.

Закрученные потоки отличаются большим разнообразием даже качественной картины течения, которая определяется в первую очередь геометрическими и расходными характеристиками. Многообразие способов закрутки потока — лопаточными завихрителями на входе в канал, тангенциальным подводом газа, ленточными и шнековыми завихрителями и т. п.— значительно осложняет анализ и обобщение экспериментов. Большое распространение получил метод обобщения опытных данных в зависимости от входных геометрических и расходных условий конкретно изучаемых устройств. Подробное освещение вопросов, связанных с теплообменом в каналах при различных способах закрутки потока, дается в [18].

Общий результат всех исследований — вывод об интенсифицирующем воздействии различных способов закрутки потока на тепломассоперенос и поверхностное трение. Но к настоящему времени отсутствует единая точка зрения на причины, вызывающие интенсификацию процессов переноса при закрутке потока. Так, в ряде работ [13, 16, 17, 19] увеличение теплоотдачи и трения объясняется только «геометрическими» факторами, т. е. за счет возрастания величины полной скорости и длины линии тока. В то же время, по данным [12, 14, 15, 18, 20], влияние массовых сил, обуслов-  
70

ленных кривизной линий тока, на структуру турбулентности и процессы переноса может быть значительным. В настоящей работе решается задача о тепломассообмене и трении в начальном участке трубы при закрутке потока с учетом указанных выше явлений.

**1. Тепломассообмен и трение в закрученном потоке без учета воздействия массовых сил на турбулентность.** Интегральные соотношения для продольной компоненты импульса и тепла закрученного потока могут быть получены из соответствующей системы дифференциальных уравнений движения, энергии и неразрывности пограничного слоя в цилиндрической системе координат [21]. Для осесимметричного течения на начальном участке непроницаемой круглой трубы при достаточно тонком пограничном слое  $\delta/R \ll 1$ , когда поток можно считать безградиентным ( $\partial u_{x0}/\partial x = 0$ ), интегральные соотношения имеют вид

$$(1.1) \quad \frac{d \text{Re}_x^{**}}{dx} = \frac{c_{fx}}{2} \text{Re}_D = \Psi \frac{c_{fx0}}{2} \text{Re}_D;$$

$$(1.2) \quad \frac{d \text{Re}_T^{**}}{dx} + \frac{\text{Re}_T^{**}}{\Delta T} \frac{d(\Delta T)}{dx} = \text{St} \text{Re}_D = \Psi_T \text{St}_0 \text{Re}_D,$$

где  $\text{Re}_x^{**} = \rho_0 u_{x0} \delta_x^{**} / \mu_0$ ,  $\text{Re}_T^{**} = \rho_0 u_{x0} \delta_T^{**} / \mu_0$  — числа Рейнольдса, построенные по толщине потери импульса в продольном направлении и толщине потери энергии соответственно

$$(1.3) \quad \delta_x^{**} = \int_{R-\delta}^R \frac{\rho u_x}{\rho_0 u_{x0}} \left( 1 - \frac{u_x}{u_{x0}} \right) \frac{r}{R} dr, \quad \delta_T^{**} = \int_{R-\delta}^R \frac{\rho u_x}{\rho_0 u_{x0}} \left( 1 - \frac{T_w - T}{T_w - T_0} \right) \frac{r}{R} dr;$$

$x = x/D$ ;  $\text{Re}_D = \rho_0 u_{x0} D / \mu$ ;  $\Delta T = T_w - T_0$ ;  $R$ ,  $\delta$ ,  $u_{x0}$  — радиус канала, толщина пограничного слоя и продольная скорость на его внешней границе.

Интегральные соотношения импульса (1.1) и энергии (1.2) имеют такой же вид, как и для незакрученного течения [22], а влияние закрутки потока на характеристики процессов переноса оказывается через относительные коэффициенты трения  $\Psi = (c_{fx}/c_{f0}) \text{Re}^{**}$  и теплообмена  $\Psi_T = (\text{St}/\text{St}_0) \text{Re}_T^{**}$ . Здесь  $c_{fx}/2 = \tau_x/\rho_0 u_{x0}^2$ ,  $\text{St} = q_w/\rho_0 u_{x0} c_p \Delta T$  — коэффициенты трения и теплообмена в закрученном потоке, а  $c_{f0}/2$  и  $\text{St}_0$  — аналогичные параметры, но при отсутствии закрутки.

Для решения интегральных соотношений (1.1), (1.2) необходимо получить выражения для законов трения и теплообмена в закрученном потоке. С этой целью воспользуемся гипотезой Прандтля для турбулентного пространственного пограничного слоя; связь между касательными напряжениями и осредненными параметрами течения записывается в виде

$$(1.4) \quad \tau_\Sigma = \rho l^2 (\partial u_\Sigma / \partial r)^2,$$

где  $\tau_\Sigma = \sqrt{\tau_x^2 + \tau_\varphi^2}$ ,  $u_\Sigma = \sqrt{u_x^2 + u_\varphi^2}$  — полные касательные напряжения и скорость. С использованием условия постоянства угла закрутки потока по толщине пограничного слоя  $\varphi = \arctg(u_\varphi/u_{x0}) = \text{const}$  [18] продольную компоненту касательного напряжения запишем как

$$(1.5) \quad \tau_x = \tau_\Sigma \cos \varphi = \rho l^2 (\partial u_x / \partial r)^2 / \cos \varphi.$$

Для турбулентного потока тепла может быть получено аналогичное по структуре выражение

$$(1.6) \quad \dot{q} = c_p \rho l l_T \frac{\partial u_\Sigma}{\partial r} \frac{\partial T}{\partial r} = c_p \rho l l_T \frac{\partial u_x}{\partial r} \frac{\partial T}{\partial r} \frac{1}{\cos \varphi}.$$

Согласно асимптотической теории турбулентного пограничного слоя [22], получим предельный относительный закон трения из (1.5)

$$(1.7) \quad \Psi = \left( \frac{c_{fx}}{c_{f0}} \right)_{\text{Re}_\Sigma^{**}} = \frac{1}{\cos \varphi} \left[ \int_0^1 \sqrt{\frac{\rho \tau_0}{\rho_0 \tau}} \frac{l}{l_0} d\omega_x \right]^2.$$

Для пограничного слоя закрученного потока можно принять [18], что распределение относительных значений касательных напряжений имеет такой же характер, что и при отсутствии закрутки  $\tilde{\tau}/\tilde{\tau}_0 = \frac{(\tau/\tau_w)}{(\tau/\tau_w)_0} = 1$ . Распределение плотности будет также совпадать с зависимостью для течения на пластине [22]

$$\rho/\rho_0 = \psi + (1 - \psi)\omega_x.$$

Здесь  $\rho$ ,  $\rho_0$  — плотность в рассматриваемой точке и ядре течения;  $\psi = T_w/T_0$  — фактор неизотермичности;  $\omega_x = u_x/u_{x0}$ .

В соотношении (1.7) влияние кривизны линий тока на турбулентные характеристики (см., например, [20]) учитывается через отношение длины пути смешения для закрученного и незакрученного течений  $l/l_0$ .

Проведем вначале анализ влияния закрутки потока только через средние характеристики течения без учета воздействия массовых сил на турбулентность ( $l = l_0$ ). При этом для простоты рассмотрим случай квазизотермического течения ( $\rho \approx \rho_0$ ). При этих условиях соотношение (1.7) примет вид

$$(1.8) \quad \Psi = \Psi_\varphi = (c_{fx}/c_{fx0})_{Re_\Sigma^{**}} = (St/St_0)_{Re_{\Sigma T}^{**}} = \frac{1}{\cos \varphi}.$$

Сопоставление коэффициентов обмена в рассматриваемом закрученном потоке и в канале без закрутки в (1.8) производится при числе Рейнольдса, рассчитанном по полной скорости на внешней границе пограничного слоя:  $Re_\Sigma^{**} = \frac{\rho_0 u_{\Sigma 0} \delta_\Sigma^{**}}{\mu}$ .

Величина  $\delta_\Sigma^{**} = \int_{R-\delta}^R \frac{\rho u_\Sigma}{\rho_0 u_{\Sigma 0}} \left(1 - \frac{u_\Sigma}{u_{\Sigma 0}}\right) \frac{r}{R} dr$  есть толщина потери импульса в направлении вектора полной скорости; при подобии профилей скорости в пограничном слое  $u_x/u_{x0} = u_\varphi/u_{\varphi 0} = u_\Sigma/u_{\Sigma 0}$  ее значение равно толщине потери импульса в продольном направлении  $\delta_\Sigma^{**} = \delta_x^{**}$ . Тогда, используя закон трения в стандартных условиях [22]  $c_{f0}/2 = (B/2) Re_\Sigma^{**-m}$  и учитывая, что  $u_\Sigma = u_x/\cos \varphi$ , из (1.8) получим выражения для коэффициента трения в продольном направлении

$$(1.9) \quad \frac{c_{fx}}{2} = \frac{B}{2} \left( \frac{\rho_0 u_{\Sigma 0} \delta_\Sigma^{**}}{\mu} \right)^{-m} \frac{1}{\cos \varphi} - \frac{B}{2} \left( \frac{\rho_0 u_{x0} \delta_x^{**}}{\mu_0} \right)^{-m} (\cos \varphi)^{m-1}$$

и коэффициента теплообмена

$$(1.10) \quad St = \frac{B}{2} \left( \frac{\rho_0 u_{x0} \delta_T^{**}}{\mu_0} \right)^{-m} Pr^{(m-1)} (\cos \varphi)^{m-1}.$$

При  $Re^{**} < 10^4$   $B/2 = 0,0128$ ,  $m = 0,25$ . Если принять, что турбулентный пограничный слой нарастает сразу от входного сечения (при  $x = 0$   $\delta^{**} = \delta_T^{**} = 0$ ), то решение интегральных соотношений пограничного слоя (1.1) и (1.2) совместно с (1.9) и (1.10) дает:

для динамического слоя

$$(1.11) \quad \delta^{**} = 0,0366 Re_x^{-0,2} x (\cos \varphi)^{-0,6}, \quad \frac{c_{fx}}{2} = 0,029 Re_x^{-0,2} (\cos \varphi)^{-0,6};$$

для теплового слоя при  $q = \text{const}$

$$(1.12) \quad \delta_T^{**} = 0,0306 Re_x^{-0,2} x Pr^{-0,6} (\cos \varphi)^{-0,6}, \\ St = 0,0306 Re_x^{-0,2} Pr^{-0,6} (\cos \varphi)^{-0,6}.$$

При  $\varphi \rightarrow 0$  эти уравнения переходят в известные соотношения для незакрученного течения [22].

Таким образом, трение в осевом направлении и коэффициент тепломассопередачи в закрученном потоке выше, чем в незакрученном в  $(\cos \varphi)^{-0,6}$  раз при одном и том же расстоянии от входа и одинаковой про-

дольной составляющей скорости на внешней границе пограничного слоя, если не учитывать при этом дополнительного воздействия массовых сил на турбулентный перенос.

Широкое распространение при анализе пограничных слоев в закрученных потоках получил так называемый метод спрямления линий тока [13, 16], который по сути дела заключается в решении уравнений пограничного слоя, составленных для направления вдоль линии тока. Однако некоторый произвол в трактовке этого метода приводит к отличию коэффициентов расчетных формул, полученных различными исследователями.

Остановимся несколько подробнее на анализе принципа спрямления линий тока. Интегральные соотношения импульса и энергии в ортогональной системе координат, связанной с линией тока на поверхности тонкого пограничного слоя  $\delta/R \ll 1$ , при безградиентном течении представим как [21]

$$(1.13) \quad \frac{d\delta_{\Sigma}^{**}}{dL} = \frac{c_f \Sigma}{2}, \quad \frac{d\delta_{T\Sigma}^{**} \Delta T}{\Delta T dL} = St,$$

где  $L$  — координата, отсчитываемая вдоль линии тока ( $dL = dx/\cos \varphi$ ). Интегральные параметры в (1.13) имеют вид

$$\delta_{\Sigma}^{**} = \int_0^{\delta} \frac{\rho u_{\Sigma}}{\rho u_{\Sigma 0}} \left( 1 - \frac{u_{\Sigma}}{u_{\Sigma 0}} \right) \left( 1 - \frac{y}{R} \right) dy, \quad \delta_{T\Sigma}^{**} = \int_0^{\delta_T} \frac{\rho u_{\Sigma}}{\rho_0 u_{\Sigma 0}} \left( 1 - \frac{T - T_w}{T_0 - T_w} \right) \left( 1 - \frac{y}{R} \right) dy,$$

а коэффициенты трения и теплообмена соответственно

$$\frac{c_f \Sigma}{2} = \frac{\tau_{\Sigma}}{\rho_0 u_{\Sigma 0}^2}, \quad St_{\Sigma} = \frac{-q_w}{\rho_0 u_{\Sigma 0} c_p \Delta T}.$$

Как видно, соотношения (1.13) подобны интегральным уравнениям для течения без закрутки [22]. Следовательно, решения этих уравнений будут также подобны, если критерии, входящие в них, определять по полной скорости и длине линии тока, пренебрегая при этом влиянием центробежных сил на перенос

$$(1.14) \quad \frac{c_f \Sigma}{2} = \frac{B}{2} Re_{\Sigma}^{**-m}, \quad St_{\Sigma} = \frac{B}{2} Re_{T\Sigma}^{**-m} Pr^{m-1}.$$

Если уравнения (1.14) преобразовать, используя в качестве масштабов продольную составляющую скорости  $u_{x0}$  и координату  $x$ , то они переходят в выражения (1.9)–(1.12). Это означает, что метод спрямления линий тока дает результаты, аналогичные полученным с использованием гипотезы пространственного пограничного слоя.

**2. Влияние массовых сил на турбулентный перенос импульса и тепла в закрученном потоке.** При анализе влияния массовых сил на турбулентный тепломассоперенос и трение при обтекании криволинейных поверхностей широкое распространение получил метод [20], основанный на аналогии между действием выталкивающих сил в стратифицированном потоке и центробежных сил на поверхности с продольной кривизной. Количественно влияние кривизны предложено учитывать в виде эмпирических зависимостей линейного масштаба турбулентности от числа Ричардсона:

$$(2.1) \quad l/l_0 = 1 - \beta Ri.$$

Здесь  $\beta$  — эмпирическая константа;  $Ri$  — число Ричардсона. Проблема подбора эмпирического коэффициента  $\beta$ , изменяющегося согласно данным различных авторов в широких пределах, осложняет использование метода.

Следуя [15], проанализируем влияние центробежных сил на турбулентные характеристики в пограничном слое закрученного потока. При этом полагается, что влияние центробежных сил в закрученном потоке проявляется через изменения величины радиальной пульсационной скорости. Турбулентные касательные напряжения в продольном направле-

ний и турбулентный поток тепла в пограничном слое при подобии полей циркуляции и продольных скоростей можно представить в виде [14, 15]:

$$(2.2) \quad \tau_x = \rho l_0^2 \frac{\partial u_x}{\partial r} \left[ \left( \frac{\partial u_x}{\partial r} \right)^2 + \left( \frac{1}{r} \frac{\partial u_\phi r}{\partial r} \right)^2 \right]^{1/2} f;$$

$$(2.3) \quad q = \rho c_p l_0 l_{T_0} \frac{\partial T}{\partial r} \left[ \left( \frac{\partial u_x}{\partial r} \right)^2 + \left( \frac{1}{r} \frac{\partial u_\phi r}{\partial r} \right)^2 \right]^{1/2} f.$$

Функция  $f$ , учитывающая влияние кривизны линий тока, описывается зависимостями

$$(2.4) \quad f = (l/l_0)^2 = \sqrt{1 - (y/l_0)^2} \text{Ri}$$

для течения у вогнутой и

$$(2.5) \quad f = (l/l_0)^2 = 1/\sqrt{1 + (y/l_0)^2} \text{Ri}$$

у выпуклой поверхности соответственно. Число Ричардсона в (2.4), (2.5), характеризующее отношение производства турбулентной энергии массовыми силами к производству касательными напряжениями [20], есть

$$(2.6) \quad \text{Ri} = \left( \frac{2u_\phi}{r^2} \frac{\partial (ru_\phi)}{\partial r} + \frac{1}{\rho} \frac{\partial \rho}{\partial r} \frac{u_\phi^2}{r} \right) / \left[ \left| \frac{\partial u_x}{\partial r} \right|^2 + \left| \frac{1}{r} \frac{\partial (ru_\phi)}{\partial r} \right|^2 \right].$$

Как видно, в общем случае массовые силы могут быть вызваны не только градиентом циркуляции, но и градиентом плотности в пограничном слое. Для постоянного угла закрутки по толщине пограничного слоя и подобия профилей циркуляции, продольной и полной скорости

$$u_x/u_{x0} = u_\phi r/u_{\phi0} R = u_\Sigma/u_{\Sigma0} = \omega$$

соотношение (2.6) можно привести к виду

$$(2.7) \quad \text{Ri} = \mp \frac{\delta}{R} \sin^2 \varphi \left[ 2\omega \frac{\partial \omega}{\partial \xi} + \frac{\omega^2}{\rho} \frac{\partial \rho}{\partial \xi} \right] / \left[ \left| \frac{\partial \omega}{\partial \xi} \right|^2 \right],$$

где  $\xi = y/\delta$ ;  $R$  — радиус канала; знак минус соответствует обтеканию вогнутой поверхности, плюс — выпуклой поверхности. С учетом уравнения состояния для идеального газа  $\rho/\rho_0 = T_0/T$  и подобия полей скоростей и температур  $\omega = \Theta = \xi^n$  после несложных преобразований из (2.7) получим

$$(2.8) \quad \text{Ri} = \mp \frac{\delta}{R} \sin^2 \varphi \left[ \frac{2\xi}{n} + \frac{\xi}{n} \frac{\psi - 1}{\psi/\Theta + 1 - \psi} \right].$$

Поскольку влияние массовых сил преимущественно сказывается через внешнюю часть пограничного слоя, то без внесения заметной погрешности величину  $\Theta$  в правой части (2.8) можно осреднить по толщине слоя. Окончательное выражение для числа Ричардсона в неизотермическом пограничном слое запишем как

$$(2.9) \quad \text{Ri} = \pm \frac{\delta \xi}{Rn} \sin^2 \varphi \left[ 1 + \frac{\psi - 1}{2(\psi n + 1)} \right].$$

Для изотермического течения ( $\psi = 1$ ) выражение (2.9) упрощается:

$$(2.10) \quad \text{Ri} = \mp \frac{2\delta \xi}{Rn} \sin^2 \varphi = \mp \frac{2\delta^{**} \xi (1 + n)(1 + 2n)}{Rn^2}.$$

Здесь следует иметь в виду, что в общем случае показатель степени  $n$  в степенном профиле скорости зависит от кривизны течения и неизотермичности. Однако в первом приближении можно принять  $n = 1/7$ . Итак, интегральным параметром, характеризующим воздействие кривизны на трение и теплообмен, как об этом указывалось в ряде работ [20, 23], является отношение толщины пограничного слоя (или его интегрального масштаба  $\delta^{**}$ ) к радиусу кривизны. Выражения (2.2)–(2.5), (2.9) представляют собой систему уравнений, описывающих распределение тур-

булентных касательных напряжений и тепловых потоков, которые могут быть использованы для расчетов поверхностного трения и теплоотдачи. При этом не надо использовать дополнительные эмпирические константы, учитывающие влияние массовых сил на турбулентный обмен.

Из совместного решения указанной выше системы уравнений и предельного интеграла асимптотической теории пограничного слоя [22] методом последовательных приближений можно рассчитать влияние кривизны линий тока на трение и тепломассообмен. Результаты численного расчета хорошо аппроксимируются зависимостями для вогнутой стенки (течение в трубе)

$$(2.11) \quad \Psi_k = \left\{ 1 + 1,8 \cdot 10^3 \frac{\delta^{**} \sin^2 \varphi}{R} \left[ 1 + \frac{\psi - 1}{2(\psi_n + 1)} \right] \right\}^{0,162} \quad \text{при } \delta^{**}/R < 0,025$$

и для выпуклой (обтекание цилиндра)

$$(2.12) \quad \Psi_k = \left\{ 1 + 2,2 \cdot 10^3 \frac{\delta^{**} \sin^2 \varphi}{R} \left[ 1 + \frac{\psi - 1}{2(\psi_n + 1)} \right] \right\}^{-0,115} \quad \text{при } \delta^{**}/R < 0,01.$$

Эти формулы справедливы для расчетов турбулентного тепломассообмена при  $\Pr \approx 1$ . В случае  $\Pr > 1$  ( $\text{Sc} > 1$ ) в (2.11) и (2.12) при  $\delta^{**}$  появляется множитель  $\Pr^{-1,8}(\text{Sc}^{-1,8})$  [14].

**3. Обсуждение результатов.** Сопоставление экспериментальных и расчетных данных различных авторов по теплообмену и трению полностью закрученного потока в трубе приводится на рис. 1. Работы, из которых взяты эти данные, а также расчетные формулы и условия проведения экспериментов указаны в таблице; светлые точки соответствуют опытам по тепломассообмену, темные — трению. Расчетные зависимости и экспериментальные результаты по трению приведены к продольной компоненте касательного напряжения. Данные рис. 1 обработаны в виде зависимости относительного коэффициента тепломассообмена и трения  $\Psi = (c_{fx}/c_{f0})_{Re_x^{**}} = (St/St_0)_{Re_T^{**}}$  от угла закрутки при одинаковых  $Re^{**}$  ( $Re_x^{**} = \rho u_{x0} \delta^{**}/\mu$  и  $Re_T^{**} = \rho_0 u_{x0} \delta T^{**}/\mu$ ) для закрученного и незакрученного течений. Отметим, что для стабилизированного участка течения в трубе относительные коэффициенты трения при  $Re^{**} = \text{idem}$  и  $Re_D = \text{idem}$  совпадают между собой, при этом обработка производилась с использованием последнего условия.

Кривая 7 — расчет по формулам (1.9), (1.10), описывающим интенсификацию трения и теплообмена ( $\Pr = 1$ ) при отсутствии влияния центробежных сил на турбулентный перенос. Линия 1 отображает совместное воздействие на процессы переноса увеличения полной скорости и массовых сил в закрученном потоке. Расчет проводился для  $\delta/R = 1$ . Естественно, что такой режим течения при закрутке потока на практике не реализуется. Однако эта расчетная оценка характеризует предельное влияние массовых сил на трение и теплообмен.

Как видно из рис. 1, ни одна из существующих теорий не описывает в полной мере эксперимент. Все опытные данные лежат в интервале между линиями максимального 7 и минимального 1 воздействия центробежных сил. Разброс экспериментальных результатов дает основание полагать, что угол закрутки однозначно не отражает интенсификацию трения и теплообмена.

В общем случае вследствие различных условий входа, а также специфических особенностей формирования закрученного потока различными способами (шнек, скрученная лента и т. п.) толщина пограничного слоя на стабилизированном участке не равна радиусу канала, как это имеет место в не-

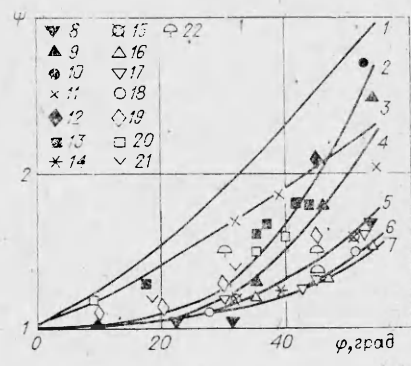
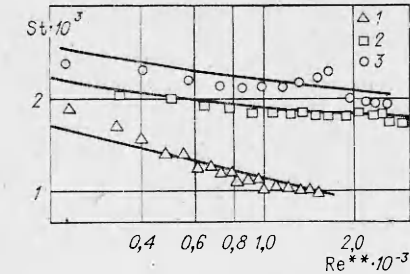
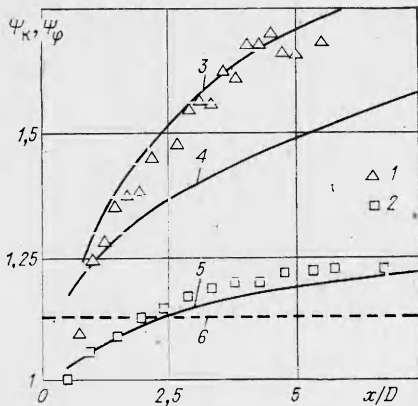


Рис. 1

Линии, точки рис. 1	Источник	Рассчитываемые или измеряемые параметры	Расчетная формула или условия эксперимента
1	Данная работа	Трение и теплообмен с учетом массовых сил	$\Psi = \Psi_\varphi \Psi_k$
2	[13]	Трение	$\Psi = (\cos \varphi)^{-1,75}$
3	[17]	Теплообмен	$\Psi = 1 + (\tan \varphi)^{-1,75}$
4	[16]	»	$\Psi = (\cos \varphi)^{-1,5} f(x)$
5	[18]	Трение и тепломассообмен	$\Psi = 1/\cos \varphi$
6	[13]	Тепломассообмен	$\Psi = (\cos \varphi)^{-0,8}$
7	Данная работа	Трение и теплообмен без учета массовых сил	$\Psi = (\cos \varphi)^{-0,75}$
8	[6]	Трение	Скрученная проволока или лента
9	[8]	»	Лопаточные завихрители
10	[10]	»	Сpirальная вставка
11	[11]	»	Ленточный завихритель
12	[4]	»	Скрученная лента или шнек
13	[9]	»	Ленточный завихритель
14	[2]	»	»      »
15	[5]	Теплообмен	»      »
16	[8]	»	Лопаточный      »
17	[1]	»	Ленточный      »
18	[3]	Массообмен	Тангенциальный ввод
19	[4]	Теплообмен	Скрученная лента или шнек
20	[9]	»	Ленточный завихритель
21	[11]	»	»      »
22	[18]	»	Лопаточный      »

закрученном потоке. Следовательно, диаметр канала и среднерасходная скорость в нем не являются определяющими величинами в расчетах процессов переноса в закрученных потоках. В имеющихся в литературе со-поставлениях [13, 17, 18] все указанные факторы в полной мере не учи-тывались, а отмеченное в работах соответствие между теорией и экспери-ментом объясняется, вероятно, взаимными влияниями этих факторов на суммарный коэффициент трения и тепломассоотдачу. Не принималось во внимание и воздействие массовых сил на интенсификацию процессов пе-реноса.

О величине вклада массовых сил на суммарный коэффициент тепломассоотдачи можно судить по рис. 2, где выделено влияние увеличения скорости на внешней границе пограничного слоя и центробежных сил. Сплошными линиями и точками представлены соответственно расчетные и экспериментальные функции, отражающие интенсификацию тепломассоотдачи за счет массовых сил. Экспериментальные данные взяты из [12], 1 и 3 отражают интенсификацию массообмена в сильно неизотер-мических условиях при нагреве стенки (выгорание графита,  $\varphi = 7^\circ$ ,  $Sc = 0,7$ ) практически при постоянном угле закрутки по длине канала  $\varphi = 32^\circ$ , 4 для квазизотермических условий ( $\varphi \approx 1^\circ$ ), а 2 и 5 соотвествуют массообмену при сублимации нафталина ( $\varphi = 1^\circ$ ,  $Sc = 2,6$ ) при том же угле закрутки. Расчетные кривые определялись по формуле (2.11) (с учетом  $Sc > 1$ ). Линия 6 — относительный коэффициент тепломассо-обмена, учитывающий увеличение модуля скорости на внешней границе пограничного слоя  $\Psi_\varphi = 1/(\cos \varphi)^{0,75}$  для  $\varphi = 32^\circ$ . Как видно, вклад мас-совых сил сопоставим с интенсификацией тепломассоотдачи за счет уве-личения полной скорости для рассматриваемых условий только при  $Sc = 2,6$  (точки 2 и линия 5); для изотермического течения (линия 4) и осо-бенно при нагреве стенки (точки 1, линия 3) влияние массовых сил пре-



Р и с. 3

Р и с. 2

валирует; это обстоятельство необходимо учитывать в анализе трения и теплообмена закрученных потоков.

Отсутствие в литературе подробных сведений по аэродинамике закрученных потоков, а именно распределения по длине канала угла закрутки, толщины пограничного слоя и продольной скорости на его границе, не позволило провести детального сравнения экспериментальных данных различных исследователей с расчетом. Для сопоставления с результатами теории использованы данные [12] по изучению массообмена на начальном участке выгорающей графитовой трубы ( $\psi \approx 7$ ). Результаты опытов для  $\varphi = 0, 32, 45^\circ$  (точки 1—3) сопоставляются с расчетом на рис. 3. Расчет проводился по формуле

$$St = St_0 \Psi_T \Psi_\varphi \Psi_k = 0,0128 Re_T^{**-0,25} \left( \frac{\mu_w}{\mu_0} \right)^{0,25} Sc^{-0,75} (\cos \varphi)^{-0,75} \left( \frac{2}{V\bar{\psi} + 1} \right)^2 \times \\ \times \left\{ 1 + 1,8 \cdot 10^3 \frac{\delta^{**}}{R} \sin^2 \varphi \left[ 1 + \frac{\psi - 1}{2(\psi_n + 1)} \right] \right\}^{0,162}.$$

Функция тепломассообмена в этом случае учитывает неизотермичность течения  $\Psi_T$ , увеличение полной скорости  $\Psi_\varphi$  и интенсификацию за счет массовых сил  $\Psi_k$ . Значения  $\delta^{**}$  и  $Re_T^{**}$  находились из решения интегральных соотношений движения, энергии или массообмена; эти решения могут быть получены таким же образом, как и зависимости (1.11) и (1.12):

$$\delta^{**} = 0,0306 Re_x^{-0,2} x (\Psi_T \Psi_\varphi \Psi_k)^{0,8} \\ Re_T^{**} = 0,0366 Re_x^{0,8} (\Psi_T \Psi_\varphi \Psi_k)^{0,8} Pr^{-0,6} \left( \frac{\mu_w}{\mu_0} \right)^{0,2}.$$

Как видно, расчет дает хорошее соответствие с экспериментом для столь сложных условий, причем наибольший вклад в интенсификацию массообмена этого неизотермического течения вносят массовые силы.

#### ЛИТЕРАТУРА

- Evans S. I., Sarjant R. I. Heat transfer and turbulence in gases flowing inside tubes // J. Inst. Fuel.—1951.—N 139.
- Ибрагимов М. Х., Номофилю Е. В., Субботин В. И. Теплоотдача и гидродинамическое сопротивление при вихревом движении жидкости в трубе // Теплоэнергетика.—1961.—№ 7.
- Алимов Р. З. Конвективный массоперенос при испарительном охлаждении сильно нагреваемой поверхности закрученным двухфазным потоком // ИФЖ.—1967.—T. 12, № 5.
- Ермолин В. К. Интенсификация конвективного теплообмена в трубе в условиях закрученного потока с постоянным по длине шагом // ИФЖ.—1960.—T. 11, № 3.
- Делягин Г. Н. Конвективный теплообмен в завихренном потоке под давлением // Тепло- и массообмен.—Минск, 1963.—T. 3.

6. Kreith F., Margolis D. Heat transfer and friction in turbulent vortex flow // Appl. Scient. Res., sect. A.— 1959.— V. 8, N 6.
7. Гостицев Ю. А., Зайцев М. В. и др. О теплоотдаче в трубе с разрушающимися стенками при течении вращающегося газа // Изв. АН СССР. МЖГ.— 1967.— № 5.
8. Мигай В. К. Трение и теплообмен в закрученном потоке внутри трубы // Изв. АН СССР. Энергетика и трансп.— 1966.— № 5.
9. Smithberg E., Landis F. Friction and forced convection heat transfer characteristics in tubes with twisted tape swirl generators // Trans. ASME. Ser. C. J. Heat Transfer.— 1964.— V. 86, N 1. Рус. пер. // Тр. Амер. о-ва инж.-мех. Теплопередача.— 1964.— Т. 86, № 1.
10. Зозуля Н. В., Шкуратов Н. Я. Влияние спиральных вставок на теплоотдачу при движении вязкой жидкости внутри трубы // Теплофизика и теплотехника.— Киев: Наук. думка, 1964.
11. Koch R. Druckverlust und Wärmeübergang Strömung // VDI-Forshungsheft 469. Ser. B.— 1958.— V. 24.
12. Волчков Э. П., Спотарь С. Ю., Терехов В. И. Турбулентный тепломассообмен в начальном участке трубы при закрутке потока // Материалы VI Всесоюз. конф. по тепломассообмену.— Минск: ИТМО АН БССР, 1980.— Т. 1, ч. 3.
13. Гостицев Ю. А. Тепло- и массообмен и гидравлическое сопротивление при течении по трубе вращающейся жидкости // Изв. АН СССР. МЖГ.— 1968.— № 5.
14. Волчков Э. П., Дворников Н. А., Терехов В. И. Тепломассообмен и трение в турбулентном пограничном слое закрученного потока.— Новосибирск, 1983.— (Препринт/ИТФ СО АН СССР; № 107—83).
15. Дворников Н. А., Терехов В. И. О переносе импульса и тепла в турбулентном пограничном слое на криволинейной поверхности // ПМТФ.— 1984.— № 3.
16. Мигай В. К., Голубев Л. К. Трение и теплообмен в турбулентном закрученном потоке с переменной круткой в трубе // Изв. АН СССР. Энергетика и трансп.— 1969.— № 6.
17. Холодкова О. Ю., Фафурина А. В. Экспериментальное исследование теплоотдачи в цилиндрическом канале при наличии начальной закрутки и вдуве различных газов // Тр. КАИ.— 1974.— Вып. 178.
18. Щукин В. К., Халатов А. А. Теплообмен, массообмен и гидродинамика закрученных потоков в осесимметричных каналах.— М.: Машиностроение, 1982.
19. Seban R. A., Hunsbedt A. Friction and heat transfer in the swirl flow of water an annulus // Intern. J. Heat and Mass Transfer.— 1973.— V. 16, N 2.
20. Bradshaw P. The analogy between streamline curvature and buoyancy in turbulent shear flow // J. Fluid Mech.— 1969.— V. 36, pt 1.
21. Гинзбург И. П. Теория сопротивления и теплоотдача.— Л.: Изд-во ЛГУ, 1970.
22. Кутателадзе С. С., Леонтьев А. И. Тепломассообмен и трение в турбулентном пограничном слое.— М.: Энергия, 1972.
23. Jonston J. P., Eide S. A. Turbulent boundary layer on centrifugal compressor blades: prediction on of the effects of surface curvature and rotation // Trans. ASME. Ser. B.— 1976.— V. 98, N 3. Рус. пер. // Тр. Амер. о-ва инж.-мех. Теор. основы инж. расчетов.— 1976.— № 3.

Поступила 27/I 1986 г.

УДК 532.517.4 + 536.242

## ИССЛЕДОВАНИЕ ГИДРОДИНАМИКИ И МАССООБМЕНА В ОБЪЕМЕ ОДНОРОДНОЙ ЖИДКОСТИ С ИСКУССТВЕННО СОЗДАВАЕМОЙ ТУРБУЛЕНТНОСТЬЮ

B. Д. Жак, M. C. Исаков, O. H. Кашинский, B. E. Накоряков.  
(Новосибирск)

Массообмен между твердыми частицами и жидкостью лежит в основе многих процессов химической технологии. Интенсификация массообмена возможна за счет создания организованного среднего движения жидкости либо за счет ее интенсивной турбулизации. Повышение уровня турбулентности — эффективное средство увеличения коэффициентов теплоотдачи. Задача обтекания частицы сильно турбулизованным потоком чрезвычайно сложна, и в настоящее время в литературе имеется весьма ограниченная информация о механизме турбулентного переноса и общем влиянии турбулентности на процессы переноса.

Один из наиболее просто реализуемых способов создания высокой интенсивности турбулентности — возбуждение жидкости в сосуде с помощью осциллирующей решетки. Исследование гидродинамики такого течения посвящен ряд работ, в которых частота колебаний осциллирующей решетки изменялась в пределах  $f = 1-6$  Гц. В [1] показано, что после приведения решетки в движение в измерительном объеме, находящемся на некотором расстоянии от осциллирующей решетки, среднеквадратичные пульсации скорости жидкости вначале резко возрастают, затем медленно уменьша-